

MÓDULO I PRÉ VESTIBULAR

CORREÇÕES DE FIGURAS

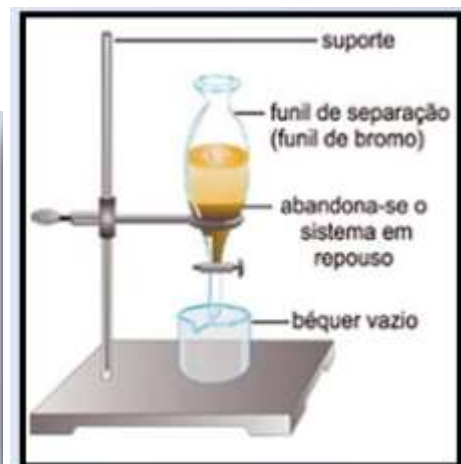
PÁG. 6

1.10. DISSOLUÇÃO FRACIONADA



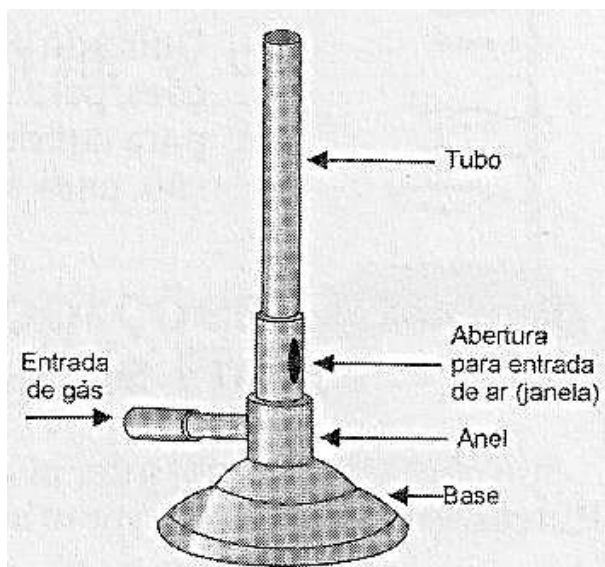
PÁG. 7

1.11. DECANTAÇÃO



PÁG. 8

3.6. BICO DE BUNSEN



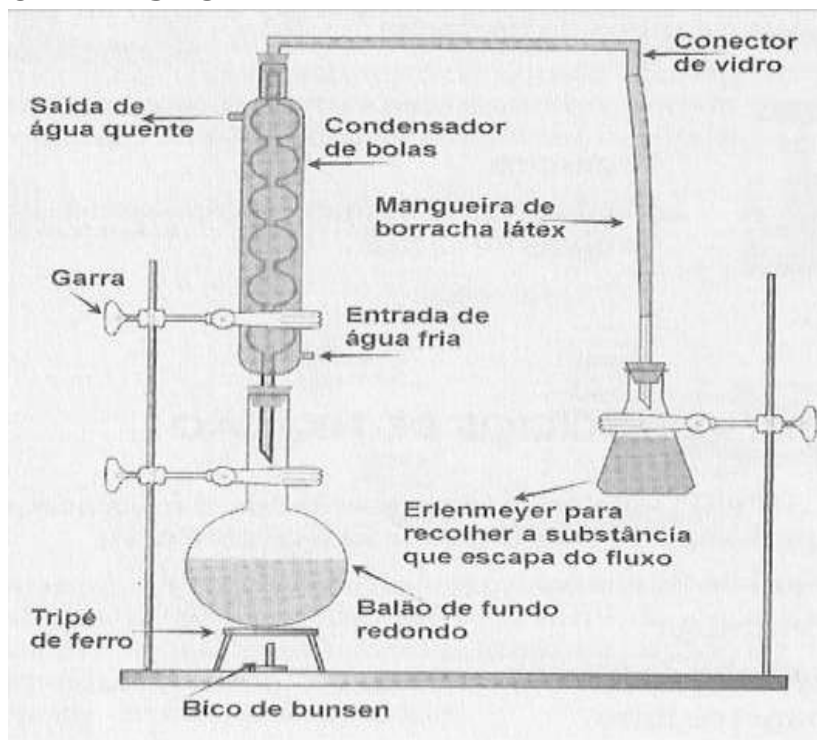
5.8. TUBO DE ENSAIO



5.9. PROVETA



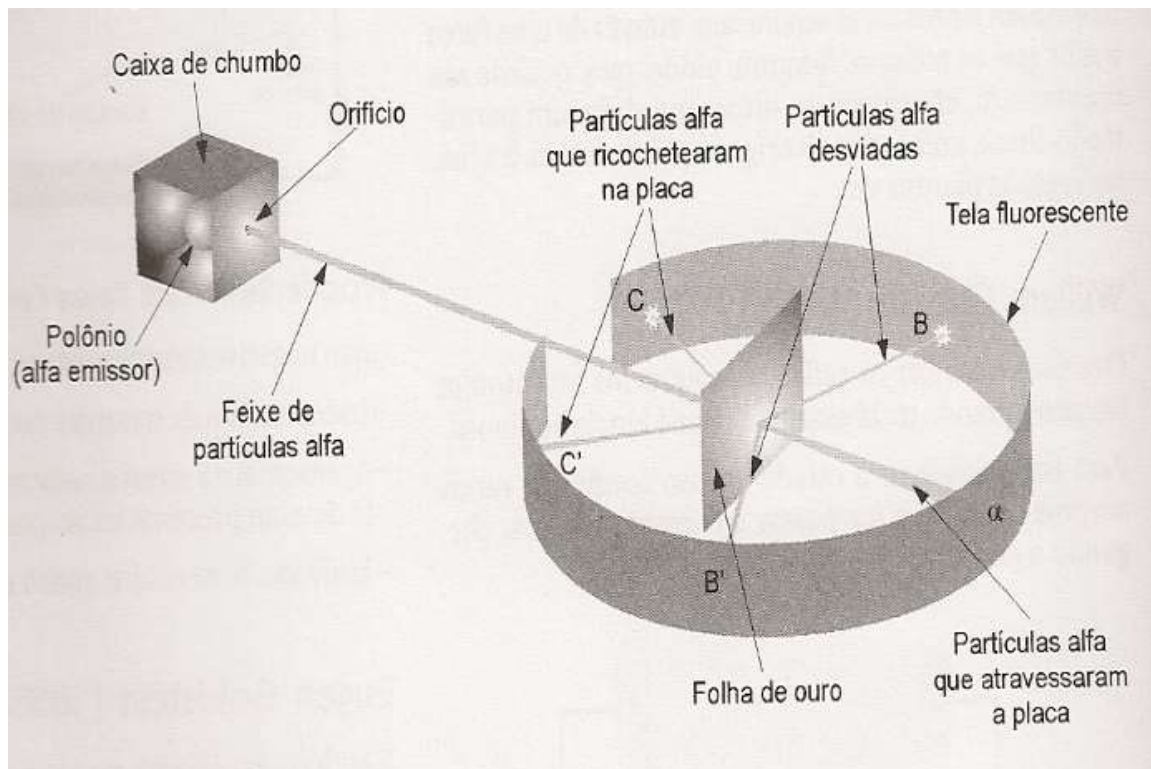
6. REFLUXO



PÁG. 16

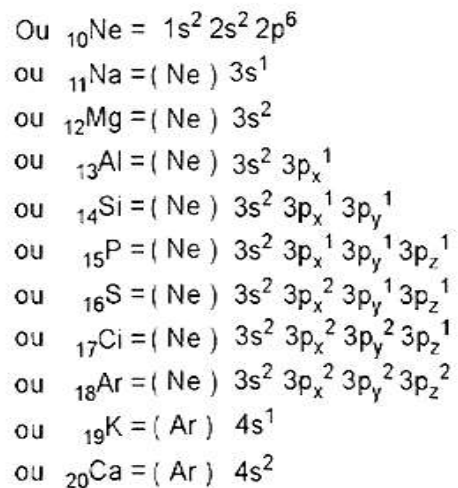
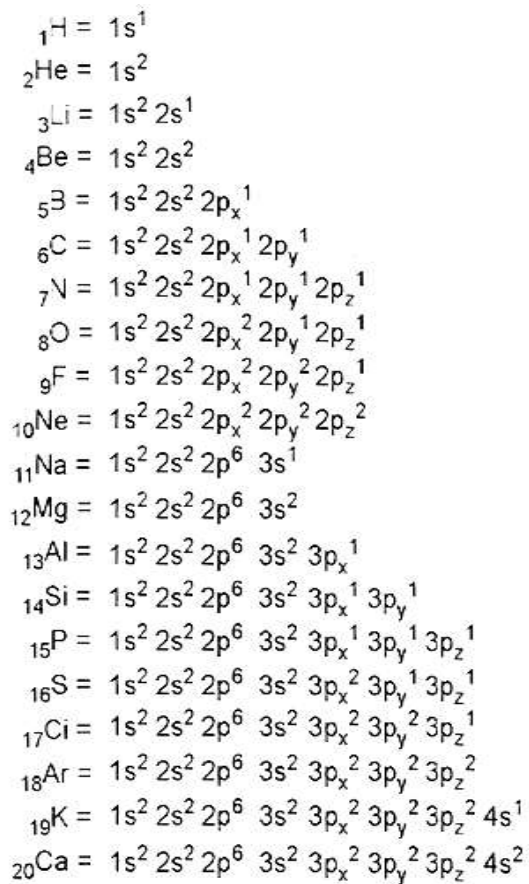
2.2. MODELO ATÔMICO DE NIELS BOHR

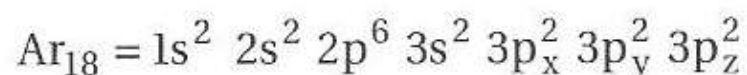
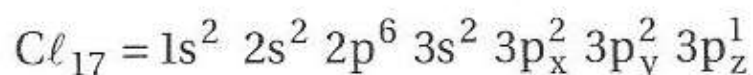
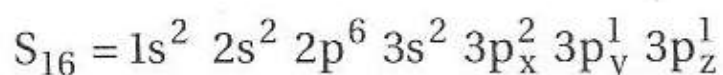
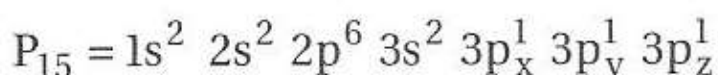
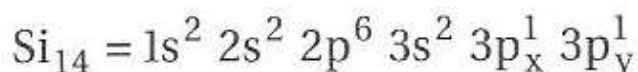
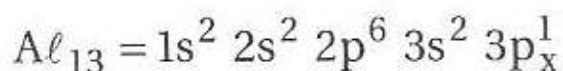
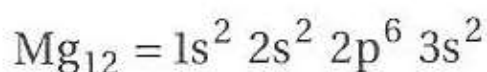
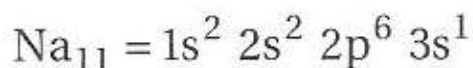
1º POSTULADO



PÁG. 18

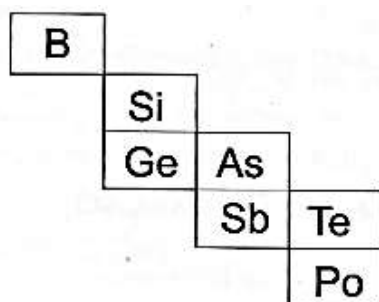
6.1. DIAGRAMA DAS PARALELAS DE LINUS PAULING



PÁG. 21**2. CONFIGURAÇÃO ELETRÔNICA DOS ELEMENTOS EM UM MESMO PERÍODO****PÁG. 22****OBSERVAÇÃO N.º 5**

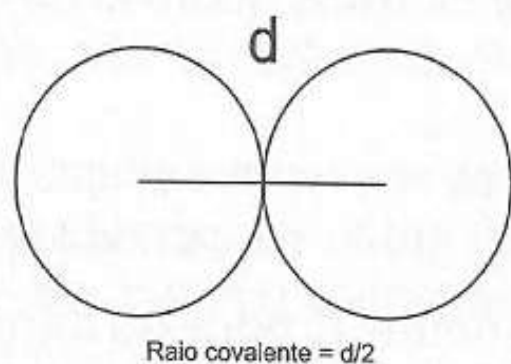
1A	$(n-1) p^6 ns^1$	metais alcalinos
2A	$(n-1) p^6 ns^2$	alcalino-terrosos
3A	$ns^2 np^1$	grupo do boro
4A	$ns^2 np^2$	grupo do carbono
5A	$ns^2 np^3$	grupo do nitrogênio
6A	$ns^2 np^4$	calcogênios
7A	$ns^2 np^5$	halogênios
Zero	$ns^2 np^6$	gases nobres
3B; 4B; 5B; 6B; 7B e 8B	$(n-1) d^{1 a 10} ns^{1 ou 2}$	
1B	$(n-1) d^{1 a 10} ns^1$	
2B	$(n-1) d^{1 a 10} ns^2$	
Lantanídeos	$(n-2) f^{1 a 14} ns^2$	
Actinídeos	$(n-2) f^{1 a 14} ns^2$	

OBSERVAÇÃO Nº.8

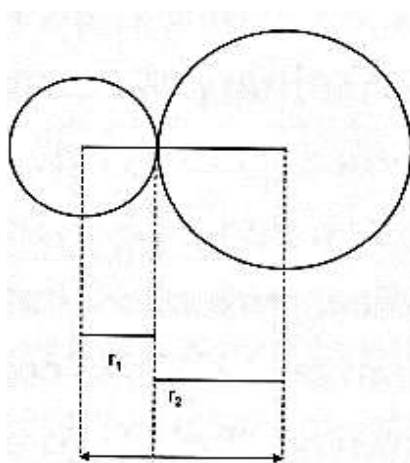


PÁG. 23

5.2. RAIOS COVALENTE EM UM PERÍODO



O raio covalente $= d/2$ é a distância medida, sendo distribuída entre os dois átomos, originando dois raios individuais, r_1 e r_2 , em moléculas heteroatômicas (átomos diferentes).



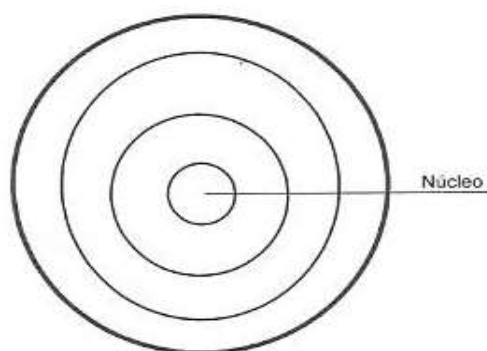
Elemento	Símbolo	Carga Nuclear	Distribuição Eletrônica	Raio Atômico
Sódio	Na	11	[Ne] 3s ¹	1,57 Å
Magnésio	Mg	12	[Ne] 3s ²	1,36 Å
Alumínio	Al	13	[Ne] 3s ² 3p ¹	1,25 Å
Silício	Si	14	[Ne] 3s ² 3p ²	1,17 Å
Fósforo	P	15	[Ne] 3s ² 3p ³	1,10 Å
Enxofre	S	16	[Ne] 3s ² 3p ⁴	1,04 Å
Cloro	Cl	17	[Ne] 3s ² 3p ⁵	0,99 Å

5.3. RAIOS COVALENTE EM UM GRUPO

Elemento	Símbolo	Carga Nuclear	Distribuição Eletrônica	Raio Atômico
Hidrogênio	H	1	1s ¹	-
Lítio	Li	3	[He] 2s ¹	1,55 Å
Sódio	Na	11	[Ne] 3s ¹	1,90 Å
Potássio	K	19	[Ar] 4s ¹	2,35 Å
Rubídio	Rb	37	[Kr] 5s ¹	2,40 Å
Césio	Cs	55	[Xe] 6s ¹	2,67 Å
Frâncio	Fr	87	[Rn] 7s ¹	-

6. ENERGIA DE IONIZAÇÃO

Elemento	Símbolo	Carga Nuclear	Distribuição Eletrônica	Potencial de Ionização
Sódio	Na	11	[Ne] 3s ¹	5,13 eV
Magnésio	Mg	12	[Ne] 3s ²	7,64 eV
Alumínio	Al	13	[Ne] 3s ² 3p ¹	5,98 eV
Silício	Si	14	[Ne] 3s ² 3p ²	8,14 eV
Fósforo	P	15	[Ne] 3s ² 3p ³	10,48 eV
Enxofre	S	16	[Ne] 3s ² 3p ⁴	10,35 eV
Cloro	Cl	17	[Ne] 3s ² 3p ⁵	13,01 eV
Argônio	Ar	18	[Ne] 3s ² 3p ⁶	15,75 eV



Orbital 3s – Diagrama de nuvem eletrônica

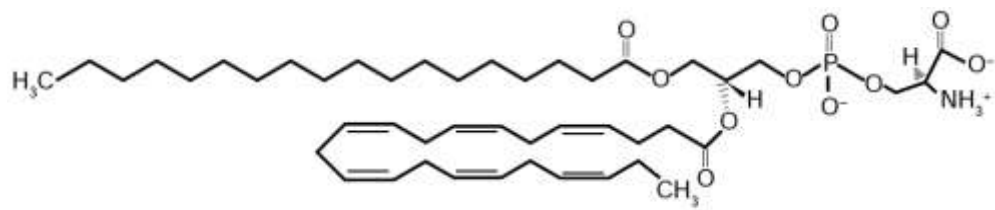
7. ELETROAFINIDADE

Algumas eletroafinidades no período:

Elemento	Símbolo	Carga Nuclear	Distribuição Eletrônica	Eletroafinidade
Sódio	Na	11	[Ne] 3s ¹	19 kcal/mol
Magnésio	Mg	12	[Ne] 3s ²	—
Alumínio	Al	13	[Ne] 3s ² 3p ¹	12 kcal/mol
Silício	Si	14	[Ne] 3s ² 3p ²	32 kcal/mol
Fósforo	P	15	[Ne] 3s ² 3p ³	17 kcal/mol
Enxofre	S	16	[Ne] 3s ² 3p ⁴	47 kcal/mol
Cloro	Cl	17	[Ne] 3s ² 3p ⁵	83,4 kcal/mol

EXERCÍCIO 4

02. (ENEM/2012)



Estrutura da fosfatidilserina